

07

©1992

## ДВУХЦВЕТНОЕ РАСЩЕПЛЕНИЕ В АНИЗОТРОПНЫХ КРИСТАЛЛАХ, ОБЛАДАЮЩИХ ГИРОТРОПИЕЙ

*В.М.Котов*

Рассмотрен общий случай двухцветного брэгговского расщепления — одновременного выполнения брэгговского синхронизма двух длин волн оптического излучения с одной акустической волной. Получены аналитические выражения такого взаимодействия, определены предельные параметры. Показано, что выбором поляризации каждой волны исходного двухцветного излучения можно практически всегда реализовать расщепление в широком диапазоне длин волн света. Численный расчет прекрасно согласуется с экспериментом.

В [1,2] рассмотрено двухцветное брэгговское расщепление применительно к лазерным доплеровским анемометрам, когда в одном акустооптическом (АО) модуляторе совмещены функции расщепления двухцветного излучения и сдвигателя частоты света. Численным методом найдены условия реализации такого расщепления в гиротропном кристалле  $\text{TeO}_2$ , подробно описан эксперимент. Однако в этих работах не проведен математический анализ двухцветного расщепления (ДР), в связи с чем остались неясными такие вопросы, как возможность реализации ДР в произвольных кристаллах, максимальная разность длин волн расщепляемых лучей и т.п. Данная работа восполняет эти пробелы.

Пусть ДР происходит в одноосном положительном гиротропном кристалле, плоскость дифракции в котором наклонена к оптической оси на угол  $\beta$  (рис. 1). Примем, что акустическая волна с волновым вектором  $\mathbf{q}$  распространяется ортогонально оптической оси кристалла и параллельно его оптическим граням. Двухцветное оптическое излучение  $M$  с длинами волн  $\lambda_1$  и  $\lambda_2$ , поляризации которых взаимоортогональны (условие эксперимента), падает на грань кристалла под углом  $\gamma$ , распадаясь внутри кристалла на лучи с волновыми векторами  $\mathbf{K}_1(\lambda_1)$  и  $\mathbf{T}_2(\lambda_2)$  (обыкновенный и необыкновенный лучи соответственно), которые дифрагируют на акустической волне  $\mathbf{q}$  в направления  $\mathbf{K}_2(\lambda_1)$  и  $\mathbf{T}_1(\lambda_2)$  (в необыкновенный и обыкновенный лучи соответственно). Случай анизотропной дифракции). Углы между  $\mathbf{K}_1$ ,  $\mathbf{K}_2$ ,  $\mathbf{T}_1$ ,  $\mathbf{T}_2$  и нормально к оптической грани  $OZ$  обозначены соответственно  $\Theta_1$ ,  $\Theta_2$ ,  $\varphi_1$  и  $\varphi_2$ . Отметим, что возможна и другая ситуация, когда падающими лучами являются  $\mathbf{K}_2(\lambda_1)$  и  $\mathbf{T}_1(\lambda_2)$ , которые дифрагируют в  $\mathbf{K}_1(\lambda_1)$  и  $\mathbf{T}_2(\lambda_2)$  соответственно. Оба эти случая приводят к разным результатам (здесь не рассматривается ситуация, когда падающими лучами являются  $\mathbf{K}_1(\lambda_1)$  и  $\mathbf{T}_1(\lambda_2)$  или  $\mathbf{K}_2(\lambda_1)$  и  $\mathbf{T}_2(\lambda_2)$ ),

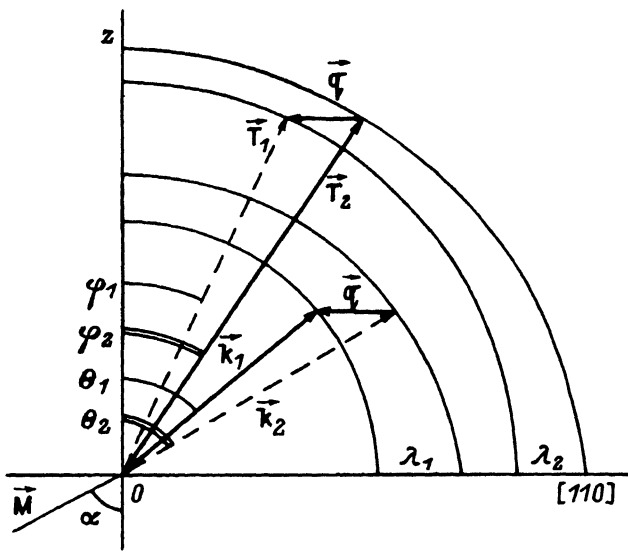


Рис. 1. Векторная диаграмма двухцветного брэгговского расщепления.  $OZ$  — нормаль к оптической грани кристалла.

при этом оба луча дифрагируют по одну сторону от падающего, сдвиг частоты света происходит в одну сторону, что отличает его от ДР).

Будем описывать индикатрисы гиротропного кристалла в приближении [3] с учетом [4]. Тогда  $K_1 = 2\pi n_0(1 - \delta_1)\lambda_1^{-1}$  и  $T_1 = 2\pi N_0(1 - \delta_2)\lambda_2^{-1}$ . Здесь и в дальнейшем  $n_0$ ,  $n_e$  и  $\delta_1$  — главные показатели преломления и параметр гиротропии для длины волны света  $\lambda_1$ ;  $N_0$ ,  $N_e$  и  $\delta_2$  — то же для  $\lambda_2$ . Введем обозначения проекций волновых векторов на оптическую грань

$$A_1 = K_1 \sin \Theta_1; \quad B_1 = K_2 \sin \Theta_2; \quad A_2 = T_1 \sin \varphi_1; \quad B_2 = T_2 \sin \varphi_2, \quad (1)$$

где  $K_2 = 2\pi n \cdot \lambda_1^{-1}$ ,  $T_2 = 2\pi N \cdot \lambda_2^{-1}$ ,  $n$  и  $N$  — показатели преломления необыкновенных лучей  $K_2$  и  $T_2$  соответственно

$$n = n_0 \cdot n_e(1 + \delta_1) \cdot [n_0^2(1 + \delta_1)^2 \sin^2 \beta + n_e^2 \cos^2 \beta]^{-1/2},$$

$$N = N_0 N_e(1 + \delta_2) \cdot [N_0^2(1 + \delta_2)^2 \sin^2 \beta + N_e^2 \cos^2 \beta]^{-1/2} \quad (2)$$

Учитывая, что  $K_1 \cos \Theta_1 = K_2 \cos \Theta_2$  и  $T_1 \cos \varphi_1 = T_2 \cos \varphi_2$ , нетрудно получить полезные для дальнейшего соотношения

$$B_1 = n_e (A_1^2 + K_1^2 m_1)^{1/2} / n,$$

$$B_2 = N_e (A_2^2 + T_1^2 m_2)^{1/2} / N, \quad (3)$$

где

$$m_1 = [n/n_0(1 - \delta_1)]^2 - 1, \quad m_2 = [N/N_0(1 - \delta_2)]^2 - 1. \quad (4)$$

Из рис. 1 имеем

$$q = B_1 - A_1 = B_2 - A_2. \quad (5)$$

Пусть излучение с  $\lambda_1$  — обыкновенная волна, а с  $\lambda_2$  — необыкновенная. Тогда, согласно закону Снеллиуса,

$$\sin \alpha = n_0(1 - \delta_1) \sin \Theta_1 = N \sin \varphi_2, \quad (6)$$

откуда с учетом (1) следует

$$B_2 = A_1 \lambda_1 / \lambda_2. \quad (7)$$

Рассмотрим систему 4 уравнений (3), (5) и (7) относительно неизвестных  $A_1$ ,  $B_1$ ,  $A_2$  и  $B_2$ , решив которую получим для  $A_1$

$$A_1^4 P + 2A_1^2 Q + R = 0, \quad (8)$$

где

$$\begin{aligned} P &= C^2 - 4[(n_e \cdot N \cdot \lambda_1)/(n \cdot N_e \cdot \lambda_2)]^2, \\ Q &= C \cdot D - 2(n_e/n)^2 \cdot [K_1^2 m_1 (N \cdot \lambda_1)^2 / (N_e \lambda_2)^2 - m_2 T_1^2], \\ R &= D^2 + (2n_e \cdot K_1 \cdot T_1/n)^2 m_1 \cdot m_2, \\ C &= (1 + \lambda_1/\lambda_2)^2 - (n_e/n)^2 - [(N \cdot \lambda_1)/(N_e \cdot \lambda_2)]^2, \\ D &= m_2 T_1^2 - (n_e/n)^2 K_1^2 m_1. \end{aligned} \quad (9)$$

Во втором случае ( $\lambda_1$  — необыкновенная волна,  $\lambda_2$  — обыкновенная) (6) переходит в  $\sin \alpha = N_0(1 - \delta_2) \sin \varphi_1 = n \cdot \sin \Theta_2$ , а (7) — в  $B_1 = A_2 \lambda_2 / \lambda_1$ . Уравнение (8) соответственно переходит в  $A_2^4 P + 2A_2^2 Q + R = 0$ , где  $P$ ,  $Q$  и  $R$  находятся из (9) с заменой

$$\lambda_1 \rightleftharpoons \lambda_2; N \rightleftharpoons n; N_e \rightleftharpoons n_e; K_1 \rightleftharpoons T_1; m_1 \rightleftharpoons m_2. \quad (10)$$

На рис. 2 и 3 показаны зависимости угла падения  $\alpha$  в вакууме и частоты звука  $f$ , при которых реализуется ДР, от отношения  $\lambda_1/\lambda_2$  для  $\text{TeO}_2$ , вычисленные на основании (8),(9) при разных углах  $\beta = 0, 5, 15, 25$  и  $35^\circ$  (кривые 1-5 соответственно). Параметры вычислений  $\lambda_1 = 0.8 \cdot 10^{-4}$  см,  $V = 0.6 \cdot 10^5$  см/с, где  $V$  — скорость звука. Значения  $n_0$  и  $n_e$  взяты из [5], параметр гиротропии определен из эмпирической зависимости  $\delta = [4.88 \cdot 10^4 \lambda - 1.42]^{-5/6} \cdot 10^{-4}$ . Видно, что существует предел  $\alpha$  и  $f$  со стороны больших  $\lambda_2$  относительно выбранного  $\lambda_1$ . Как будет ясно из дальнейшего, эта граница определяется из условия  $(\lambda_1 - \lambda_2)/\lambda_1 \leq (n_e - n_0)/n_0$ .

Чтобы определить предел со стороны коротких длин волн, обратимся прежде к рис. 4, где схематично показаны хорошо известные (см., например, [6,7]) зависимости  $\sin \Theta_1$  и  $\sin \Theta_2$  для одной длины волны света  $\lambda_1$  от  $f(a)$ . ( $\Theta_1$  и  $\Theta_2$  — углы дифракции обыкновенного и необыкновенного лучей в среде) и трансформация этих зависимостей при переходе к углам в вакууме ( $\sin \alpha_1$  и  $\sin \alpha_2$  соответственно) (б). Построения выполнены на основе закона Снеллиуса (здесь для простоты можно взять  $1/n \approx 1/n_0$ )

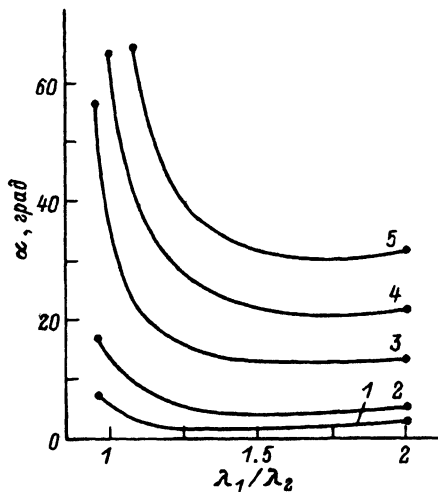


Рис. 2. Угол падения  $\alpha$  света из вакуума в зависимости от отношения длин волн расщепляемых лучей  $\lambda_1/\lambda_2$ .

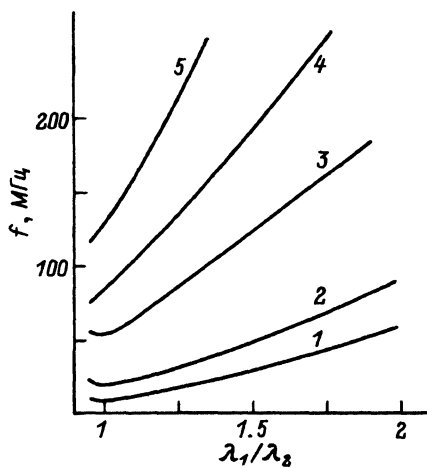


Рис. 3. Частота звука  $f$  в зависимости от  $\lambda_1/\lambda_2$ .

(рис. 4а). В частности, видно, что максимумы углов  $\alpha_1$  и  $\alpha_2$  достигаются при 4 различных значениях частоты звука  $f_1, f_2, f_3$  и  $f_4$  (в отличие от углов  $\Theta_1$  и  $\Theta_2$  рис. 4а, где это происходит только при двух частотах  $F_1$  и  $F_2$ ).

Из (3)–(5) нетрудно получить связь между  $\sin \Theta_1$  и величиной волнового вектора звука  $q$

$$\sin \Theta_1 = \frac{q}{K_1} [(n_e/n)^2 - 1]^{-1} \cdot \left\{ 1 \pm \sqrt{1 - [(n_e/n)^2 - 1] \cdot [(n_e K_1/nq)^2 m_1 - 1]} \right\}, \quad (11)$$

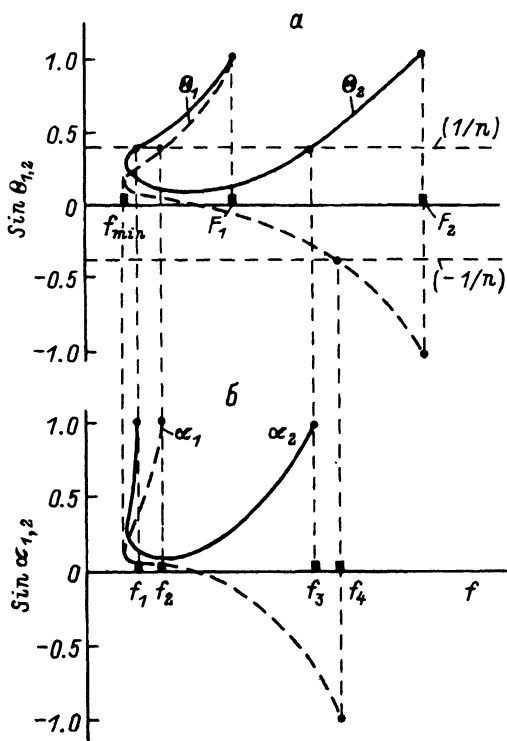


Рис. 4. Зависимость  $\sin \Theta_1$ ,  $\sin \Theta_2$  (а) и  $\sin \alpha_1$ ,  $\sin \alpha_2$  (б) от частоты звука  $f$ .

откуда, считая, что справедливы соотношения  $\sin \alpha_1 = n_0(1 - \delta_1) \sin \Theta_1$  (для обыкновенного луча) и  $\sin \alpha_2 = n_0 \cdot n_e(1 - \delta_1) \sqrt{\sin^2 \Theta_1 + m_1/n}$  (для необыкновенного [1,2]), взяв  $\sin \alpha_{1,2} = \pm 1$ , найдем выражения для экстремальных частот звука (при небольших  $\beta$ )

$$f_{1,3} = v \left( \sqrt{1 + (n_e \cdot n_0/n)^2 m_1} \mp n/n_e \right) / \lambda_1,$$

$$f_{2,4} = v \cdot n_e \left( \sqrt{1 + n_0^2 m_1} \mp n/n_e \right) / (\lambda_1 \cdot n),$$

$$F_{1,2} = v \cdot n_0 \cdot n_e \left( \sqrt{1 + m_1} \mp n/n_e \right) / (\lambda_1 \cdot n),$$

$$f_{\min} = v \cdot n_0 \sqrt{m_1 [(n_e/n)^2 - 1]} / \lambda_1, \quad (12)$$

где первый индекс соответствует верхнему знаку, а второй - нижнему.

Кроме того, справедливы соотношения  $f_1/f_2 \approx f_3/f_4 \approx n_0/n_e$ .

На рис. 5 показаны зависимости угла  $\alpha$  необыкновенного луча (кривая 1) и обыкновенных лучей (2-4) от  $f$ . Возрастание номера кривых 2-4 соответствует уменьшению длины волны света.

Кривые 2 и 4 определяют пределы существования ДР. Максимальное значение  $\lambda_1/\lambda_2$  достигается при совпадении частоты  $f_2$  для  $\lambda_1$  и  $f_3$  для

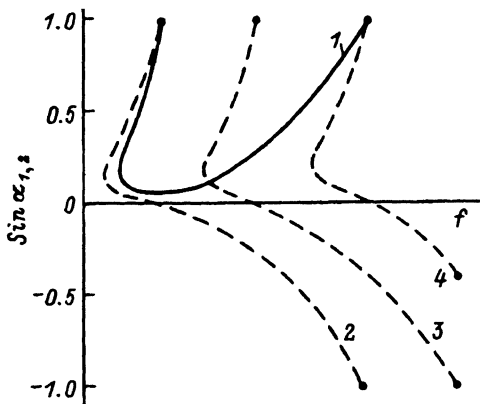


Рис. 5. Графическое определение пределов реализации ДР.

$\lambda_2$ . На основании (12) запишем

$$(\lambda_1/\lambda_2)_{\max} = \left( n_e/n \sqrt{1 + n_0^2 m_1 + 1} \right) / \left( \sqrt{1 + \frac{N_e^2 N_0^2}{N^2} m_2 - 1} \right). \quad (13)$$

Эта граница лежит в пределах 30–200 и зависит от выбранного значения  $\lambda_1$ , дисперсии показателей преломления и угла  $\beta$ . Иными словами, ДР практически всегда можно реализовать, когда длина волны необыкновенного луча больше длины волны обыкновенного  $\lambda_n > \lambda_0$ .

Отметим, что вышеприведенные выражения справедливы и для отрицательных гиротропных кристаллов, при этом везде необходимо сделать замену  $\delta_1 \rightarrow -\delta_1$  и  $\delta_2 \rightarrow -\delta_2$ , а в (11)–(13) величины, стоящие слева от знака равенства, умножить на  $-1$ . На рис. 5 кривая 1 будет описывать обыкновенный луч, а 2–4 — необыкновенные, и ДР будет реализовываться при  $\lambda_0 > \lambda_n$ .

Приведем результаты численного расчета с помощью (8), (9) для положительного кристалла  $\text{TeO}_2$  при  $\beta = 0$  для длин волн  $\lambda_1 = 0.514$  мкм и  $\lambda_2 = 0.488$  мкм (линии Аг-лазера). Параметры эксперимента следующие:  $n_0 = 2.3115$ ,  $n_e = 2.4735$ ,  $\delta_1 = 0.98 \cdot 10^{-4}$ ,  $N_0 = 2.3303$ ,  $N_e = 2.494$ ,  $\delta_2 = 1.075 \cdot 10^{-4}$ . При этом выполняется условие  $(\lambda_1 - \lambda_2)/\lambda_2 \leq (n_e - n_0)/n_0$ , т.е. для этих длин волн существуют оба случая: первый, когда  $\lambda_1$  — обыкновенная волна,  $\lambda_2$  — необыкновенная, и второй — наоборот. В первом случае  $\alpha = 28.5^\circ$ ,  $f \approx 42.8$  МГц, во втором  $\alpha = 4.46^\circ$  и  $f = 25.5$  МГц. Результаты расчета прекрасно совпадают с экспериментальными данными [1,2].

В качестве примера использования отрицательного кристалла рассмотрим реализацию ДР в  $\text{LiNbO}_3$  (гиротропия отсутствует  $\delta_{1,2} = 0$ ). Пусть  $\beta = 5^\circ$ ,  $\lambda_1 \approx \lambda_2 = 0.5 \cdot 10^{-4}$  мкм,  $\lambda_1/\lambda_2 = 1.03$ ,  $n_0 = N_0 = 2.352$ ,  $n_e = N_e = 2.26$ ,  $v = 3.69 \cdot 10^5$  см/с. Тогда в первом случае  $\alpha = 6.96^\circ$ ,  $f = 52.9$  МГц, а во втором  $\alpha = 20^\circ$ ,  $f = 110$  МГц.

По результатам работы можно сделать следующие выводы.

1. Двухцветное брэгговское расщепление можно осуществить в любых анизотропных кристаллах, как обладающих, так и не обладающих гиротропией.

2. В положительных гиротропных кристаллах это можно сделать практически всегда при  $\lambda_n > \lambda_0$ , в узком диапазоне длин волн  $(\lambda_1 - \lambda_2)/\lambda_1 \leq (n_e - n_o)/n_o$  при  $\lambda_0 > \lambda_n$ .

3. В отрицательных гиротропных кристаллах реализация возможна при  $\lambda_0 > \lambda_n$ ; в узком диапазоне длин волн, совпадающем с диапазоном для положительных кристаллов, при  $\lambda_n > \lambda_0$ .

Вышеупомянутые особенности такой дифракции необходимо учитывать при создании конкретных АО устройств двухцветного расщепления.

#### Список литературы

- [1] Антонов С.Н., Котов В.М., Сотников В.Н., Тимофеев А.С. Препринт ИРЭ АН СССР. № 20 (549). М., 1990.
- [2] Антонов С.Н., Котов В.М., Сотников В.Н. // ЖТФ. 1991. Т. 61. Вып. 1. С. 168–173.
- [3] Warner A.W., White D.L., Bonner W.A // J. Appl. Phys. 1972. Vol. 43. P. 4489–4495.
- [4] Антонов С.Н., Котов В.М. Препринт ИРЭ АН СССР. № 3(554). М., 1991.
- [5] Акустические кристаллы / Под ред. М.П.Шаскольской. М.: Наука, 1982.
- [6] Балакшиев В.И., Парыгин В.Н., Чирков Л.Е. Физические основы акустооптики. М.: Радио и связь, 1985. 280 с.
- [7] Oliveira J.E.B., Adler E.L. // Electr. Let. 1984. Vol. 20. N 22. P. 927–928.

Институт радиотехники  
и электроники  
Фрязинская часть

Поступило в Редакцию  
21 августа 1991 г.